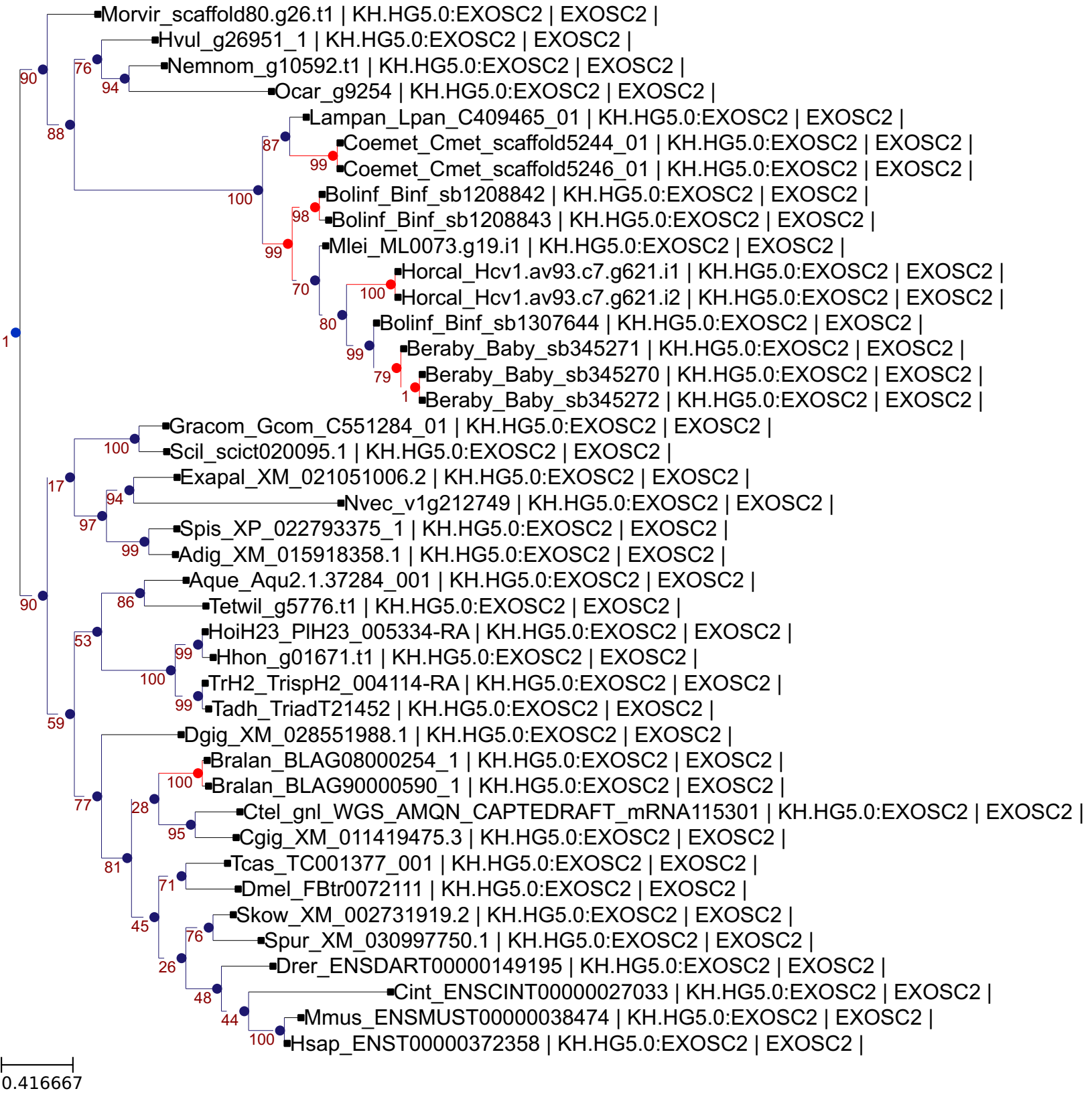
Morvir_scaffold80.g26.t1 | KH.HG5.0:EXOSC2 | EXOSC2 |
Hvul_g26951_1 | KH.HG5.0:EXOSC2 | EXOSC2 |
Nemnom_g10592.t1 | KH.HG5.0:EXOSC2 | EXOSC2 |
Ocar_g9254 | KH.HG5.0:EXOSC2 | EXOSC2 |
Lampan_Lpan_C409465_01 | KH.HG5.0:EXOSC2 | EXOSC2 |
Coemet_Cmet_scaffold5244_01 | KH.HG5.0:EXOSC2 | EXOSC2 |
Coemet_Cmet_scaffold5246_01 | KH.HG5.0:EXOSC2 | EXOSC2 |
Bolinf_Binf_sb1208842 | KH.HG5.0:EXOSC2 | EXOSC2 |
Bolinf_Binf_sb1208843 | KH.HG5.0:EXOSC2 | EXOSC2 |
Mlei_ML0073.g19.i1 | KH.HG5.0:EXOSC2 | EXOSC2 |
Horcal_Hcv1.av93.c7.g621.i1 | KH.HG5.0:EXOSC2 | EXOSC2 |
Horcal_Hcv1.av93.c7.g621.i2 | KH.HG5.0:EXOSC2 | EXOSC2 |
Bolinf_Binf_sb1307644 | KH.HG5.0:EXOSC2 | EXOSC2 |
Beraby_Baby_sb345271 | KH.HG5.0:EXOSC2 | EXOSC2 |
Beraby_Baby_sb345270 | KH.HG5.0:EXOSC2 | EXOSC2 |
Beraby_Baby_sb345272 | KH.HG5.0:EXOSC2 | EXOSC2 |
Gracom_Gcom_C551284_01 | KH.HG5.0:EXOSC2 | EXOSC2 |
Scil_scict020095.1 | KH.HG5.0:EXOSC2 | EXOSC2 |
Exapal_XM_021051006.2 | KH.HG5.0:EXOSC2 | EXOSC2 |
Nvec_v1g212749 | KH.HG5.0:EXOSC2 | EXOSC2 |
Spis_XP_022793375_1 | KH.HG5.0:EXOSC2 | EXOSC2 |
Adig_XM_015918358.1 | KH.HG5.0:EXOSC2 | EXOSC2 |
Aque_Aqu2.1.37284_001 | KH.HG5.0:EXOSC2 | EXOSC2 |
Tetwil_g5776.t1 | KH.HG5.0:EXOSC2 | EXOSC2 |
HoiH23_PlH23_005334-RA | KH.HG5.0:EXOSC2 | EXOSC2 |
Hhon_g01671.t1 | KH.HG5.0:EXOSC2 | EXOSC2 |
TrH2_TrispH2_004114-RA | KH.HG5.0:EXOSC2 | EXOSC2 |
Tadh_TriadT21452 | KH.HG5.0:EXOSC2 | EXOSC2 |
Dgig_XM_028551988.1 | KH.HG5.0:EXOSC2 | EXOSC2 |
Bralan_BLAG08000254_1 | KH.HG5.0:EXOSC2 | EXOSC2 |
Bralan_BLAG90000590_1 | KH.HG5.0:EXOSC2 | EXOSC2 |
Ctel_gnl_WGS_AMQN_CAPTEDRAFT_mRNA115301 | KH.HG5.0:EXOSC2 | EXOSC2 |
Cgig_XM_011419475.3 | KH.HG5.0:EXOSC2 | EXOSC2 |
Tcas_TC001377_001 | KH.HG5.0:EXOSC2 | EXOSC2 |
Dmel_FBtr0072111 | KH.HG5.0:EXOSC2 | EXOSC2 |
Skow_XM_002731919.2 | KH.HG5.0:EXOSC2 | EXOSC2 |
Spur_XM_030997750.1 | KH.HG5.0:EXOSC2 | EXOSC2 |
Drer_ENSDART00000149195 | KH.HG5.0:EXOSC2 | EXOSC2 |
Cint_ENSCINT00000027033 | KH.HG5.0:EXOSC2 | EXOSC2 |
Mmus_ENSMUST00000038474 | KH.HG5.0:EXOSC2 | EXOSC2 |
Hsap_ENST00000372358 | KH.HG5.0:EXOSC2 | EXOSC2 |
0.416667